

# **SISTEMAS NEURO-DIFUSOS PARA A MODELIZAÇÃO DE PROCESSOS**

Computação Adaptativa (MEI)  
CNSD (MIEB)

Marco Simões (MEI) - 2006125287  
Sérgio Santos (MEI) - 2006125508

Departamento de Engenharia Informática  
Faculdade de Ciências e Tecnologia  
Universidade de Coimbra  
Dezembro, 2009

## Introdução

Os sistemas neuro-difusos são uma boa opção quando se pretende modelizar um determinado processo. Quando não existe conhecimento teórico ou empírico sobre um sistema em estudo, torna-se complexa a tarefa de aferir o seu comportamento. Os sistemas neuro-difusos possibilitam a geração de regras apenas com base em dados experimentais, recolhidos através da interacção com esse mesmo sistema. Adicionalmente, as regras geradas poderão ser usadas posteriormente para a derivação de novo conhecimento sobre o processo.

O objectivo deste trabalho consiste então em modelizar um processo, através de dados experimentais de entrada e saída fornecidos. Ao mesmo tempo, pretende-se comparar duas técnicas de agrupamento dos dados de entrada (*subtractive clustering* e *fuzzy c-means*), em relação à precisão dos modelos obtidos. Assumindo que os estamos a trabalhar sobre um sistema dinâmico com memória, é necessário adicionar como entradas do modelo valores antecedentes, segundo a equação:

$$y(k) = f(y(k-1), y(k-2), u(k-1), u(k-2))$$

É sugerida a utilização do ANFIS (Adaptive Neuro-Fuzzy Inference Systems) para a geração das regras associadas aos agrupamentos calculados.

## Desenvolvimento

O desenvolvimento passou por 3 fases distintas:

- Criação do controlador difuso manualmente e testá-lo com os dados fornecidos;
- Utilização de aprendizagem sobre o controlador manual, aplicando o ANFIS e os dados de treino fornecidos;
- Criação de um controlador automaticamente e treiná-lo e testá-lo com os dados fornecidos.

Estas fases fizeram-nos suplantir diferentes etapas, entre elas:

### *Carregamento dos dados*

O carregamento dos dados foi feito a partir do ficheiro fornecido com o projecto. Para tal, basta-nos fazer um *xslread* do ficheiro e atribuímos os dados para variáveis no *workspace*.

### *Tratamento dos dados (normalização)*

Para que pudéssemos utilizar de forma mais controlada os dados na geração manual do controlador, precisámos normalizar os dados para que os centróides não fugissem

da gama  $[-1 \ 1]$ . Assim, garantimos que os nossos centróides estão na gama que queremos e podemos definir os limites do nosso controlador em  $[-1 \ 1]$ .

### *Geração de matriz de dados*

A nossa matriz de dados consiste em 5 colunas, sendo a primeira a saída com um atraso de uma unidade, a segunda equivalente mas com um atraso de duas unidades, a terceira igual à entrada mas com um atraso de uma unidade, a quarta equivalente mas com um atraso de duas unidades e, finalmente, a última coluna corresponde à saída no instante corrente.

### *Divisão dos dados (60/30/10)*

Os dados de entrada têm que ser divididos para que possamos usar diferentes valores para treino e teste. Assim, sorteamos a matriz para que as divisões não sejam sequenciais e cortamo-la em 3 partes, correspondendo a 60% para dados de treino, 30% para dados de teste e 10% para *check*, necessários para garantir a inexistência de *overfitting*.

### *Aplicação de técnicas de clustering*

Para fazer *clustering* dos dados (operação necessária para a criação do controlador neuro-difuso) utilizámos dois métodos independentes – *Subtractive Clustering* e *Fuzzy C-Means*.

### *Criação de um controlador manualmente*

Feito o *clustering* pudemos usar os centróides resultantes para gerar um controlador e as respectivas regras. Utilizámos a função de pertença *gbellmf* por ser utilizada nos métodos automáticos descritos mais à frente, garantindo-nos assim uma análise mais justa aquando da comparação de este controlador com os restantes.

### *Geração de Controladores por Clustering*

Através dos métodos *genfis2* e *genfis3* gerámos os controladores automáticos que usam métodos de *clustering subtractive* e *fuzzy c-means*, respectivamente.

### *Teste e aprendizagem de todas as soluções*

Construídos todos os controladores, utilizamos a função de aprendizagem ANFIS para evoluir os controladores, dando-lhes os dados de treino acima referidos. Para teste da solução, fazemos *evalfis* para validar os controladores gerados com os dados de treino gerados na divisão dos dados. No final, comparamos o resultado obtido com o esperado através da função *sum square error* (SSE).

## Execução

Para poder experimentar o projecto desenvolvido, desenvolvemos uma interface gráfica(Figura 1), **interface.m**, que permite configurar:

- Tipo de clustering: subtractive clustering ou fuzzy c-means;
- Parâmetros específicos de um determinado tipo de clustering;
- Parâmetros de treino do modelo neuro-difuso;



Figura 1 - Interface gráfica do projecto

O botão “Run Clustering & Evaluate” despoleta o teste da configuração escolhida, criando, treinando e testando 20 modelos. Entre cada modelo variam os casos de treino, validação (para evitar *overfitting*) e teste, que são escolhidos aleatoriamente segundo a proporção 60/30/10 já mencionada. O erro médio desses 20 modelos é apresentado na caixa respectiva. Também é possível visualizar o último dos modelos gerados, através da interface *fuzzy*, pelo botão “Open Fuzzy”. Para melhorar a experiência do utilizador, é ainda desenhado um gráfico que mostra o output atingido e o desejado, a azul e verde respectivamente. É de notar que com erros muito baixos a diferença não é perceptível, visualizando-se muitas vezes apenas uma das cores, que sobrepõe a outra.

Incluímos o modelo desenvolvido manualmente, com o nome de **manualFIS.fis**.

Finalmente, desenvolvemos também um script para automatizar a execução de testes de modelos, **batchTesting.m**, embora só deva ser executado para a realização de testes detalhados como os que apresentaremos de seguida neste relatório.

## Resultados

Foram realizados diversos testes por forma a avaliar a performance dos modelos gerados, especialmente comparando as técnicas de *clustering* utilizadas. Os parâmetros que variámos, por técnica de *clustering* foram:

- Subtractive clustering
  - Raio de influência;

- Squash;
- Taxa de aceitação;
- Taxa de rejeição.
- Fuzzy c-means
  - Número de clusters;
  - Número máximo de iterações;
  - Valor mínimo de melhoramento;
  - Expoente da matriz de partição.

As tabelas contendo todos os resultados obtidos ordenados por performance, encontram-se na pasta do projecto, sob o nome de **resultados.xlsx**.

## Conclusões

A Figura 2 apresenta uma visualização do clustering efectuado manualmente sobre os dados de entrada. São estes clusters que são usados para a criação manual do controlador lógico.

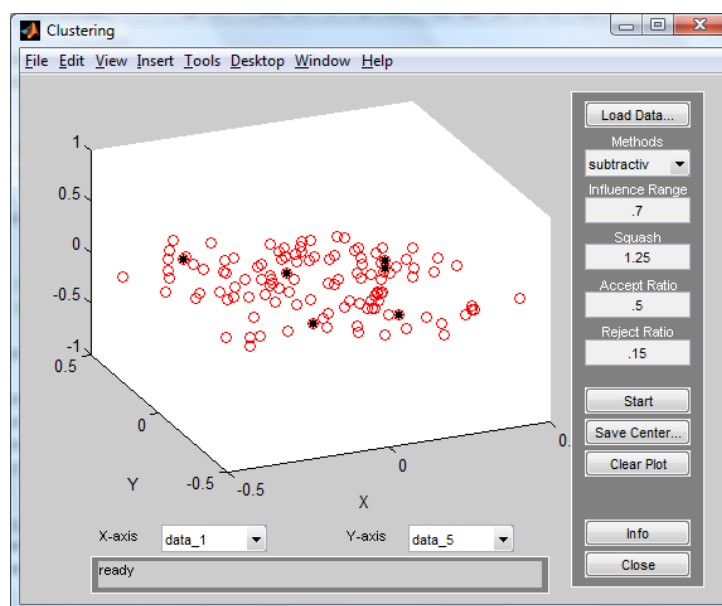


Figura 2 - Visualização dos Clusters dos dados de entrada

A execução do controlador criado manualmente obteve resultados não muito bons, como podemos visualizar na figura 3, que mostra o resultado de um teste com o controlador manual, que obteve um erro de 2.3228 (Sum Squared Error).

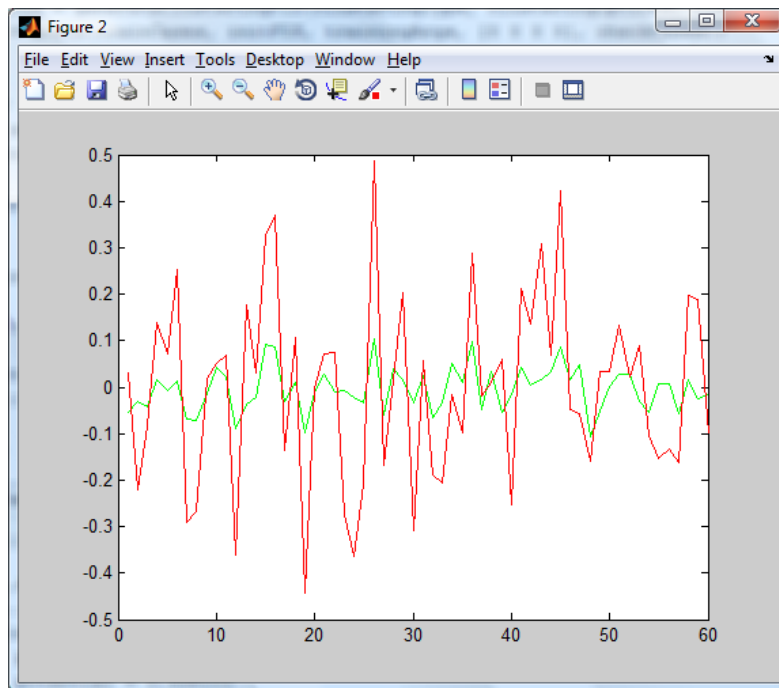


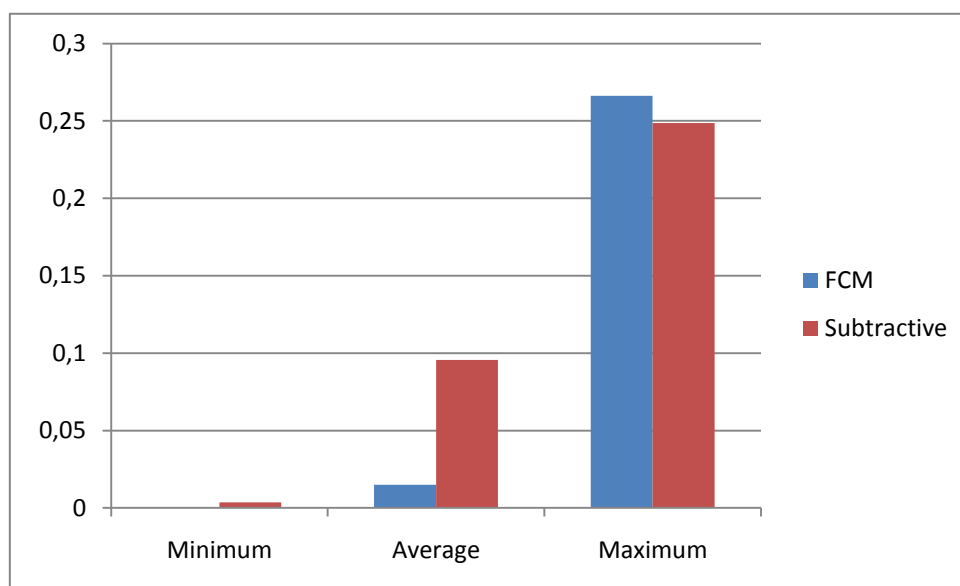
Figura 3 - Resultado obtido (verde) em contraste com o resultado esperado (vermelho) da execução do controlador manual

Nos testes restantes, onde são contrapostos os dois tipos de clustering usados, podemos ver na seguinte análise de performance que a técnica Fuzzy C-Means obtém, excepto no seu pior caso, melhores resultados que a técnica subtrativa.

### Performance Comparison

	Minimum	Average	Maximum
<b>FCM</b>	*0,0004	0,014906141	0,266151219
<b>Subtractive</b>	*0,0036	0,095667183	0,248553487

\* $\times 10^{-8}$



Verificamos no relatório acima apresentado que quer no melhor caso, quer em média, FCM demonstra-se mais eficiente na construção do controlador difuso.

Vejamos agora internamente cada técnica.

#### *FCM:*

O seu melhor caso apresenta um erro (SSE) de 4E-12, sendo a sua configuração:

<b>clusterNum</b>	<b>maxIterations</b>	<b>minImprovement</b>	<b>exponent</b>
2	300	0,01	1,2

A nível de **nº de clusters**, nota-se que o aumento de número de clusters corresponde a um agravamento do erro, tendo os melhores resultados sido obtidos com 2 clusters, e os piores com 100;

A nível do **número de iterações**, não se nota uma diferença significativa. Concluimos assim que 20 iterações parecem ser suficientes para uma aprendizagem com um sucesso significativo.

A nível do **valor mínimo de melhoramento**, a tabela abaixo mostra que o afastamento da origem causa um leve melhoramento nos valores de erro, quer mínimos, médios ou máximos.

<b>minImprov.</b>	<b>Minimum</b>	<b>Average</b>	<b>Maximum</b>
0	5E-12	0,0229531	0,266151219
0.00001	5E-12	0,0179699	0,250937832
0.1	4E-12	0,0037954	0,125435822

*Tabela 1- Valores mínimos de melhoramento*

Finalmente, relativamente aos valores de **expoente da matriz de partição**, verificamos que o aumento do seu valor é prejudicial ao desempenho do controlador, em que os valores de 1.2 e 2 apresentam muito melhores resultados que valores como 3 e 5.

#### *Subtractive Clustering:*

O seu melhor resultado apresenta um erro (SSE) de 3,6E-11 tendo como configurações:

<b>influenceRange</b>	<b>squash</b>	<b>acceptRatio</b>	<b>rejectRatio</b>
0,5	1,5	0,75	0,5

Relativamente ao **raio de influência**, o aumento deste é benéfico ao desempenho do controlador, tendo 0.5 muito melhores resultados que 0.15 ou mesmo 0.3.

O mesmo se verifica para o valor de **Squash**, em que os resultados para valores como 1.5 são melhores que 1.25 e, consequentemente, 1.0.

Para a **taxa de aceitação**, a tabela abaixo mostra que a nível de valor mínimo, a melhor taxa assume o valor de 0.75, mas em valor médio e máximo o valor 0.5 apresenta

melhores resultados. Conclui-se que os valores mais extremistas (0.25 e 1, neste caso) são más escolhas para esta taxa.

AcceptRatio	Minimum	Average	Maximum
0,25	1,162E-09	0,1031323	0,234774856
0,5	5,1E-11	0,0910953	0,226911508
0,75	3,6E-11	0,0933238	0,248553487
1	6E-11	0,0951173	0,239181927

Tabela 2 - Valores para Taxa de Aceitação

No que toca à **taxa de rejeição**, à excepção dos valores máximos, que pioram ligeiramente, o aumento do valor desta taxa resulta em melhoria de desempenho nos respectivos controladores difusos. A tabela abaixo mostra essas melhorias, a nível mínimo e médio, e o ligeiro agravamento a nível máximo.

RejectRatio	Minimum	Average	Maximum
0.1	8,4747E-08	0,107106	0,235787837
0,25	1,162E-09	0,0981321	0,246303862
0,5	3,6E-11	0,0817634	0,248553487

Tabela 3 - Valores para Taxa de Rejeição